

Received: 2024/4/7

Accepted: 2024/9/8

How to cite:

Abouhamzeh B, Farhadi M, Abdollahi M. Induction of polycystic ovary model through one-time injection of estradiol valerate in female adult rats in animal laboratory of Aja University of Medical Sciences. EBNESINA 2024;26(3):79-85.

DOI: 10.22034/26.3.79

Brief Report

Induction of polycystic ovary model through one-time injection of estradiol valerate in female adult rats in animal laboratory of Aja University of Medical Sciences

Beheshteh Abouhamzeh¹, Mohammad Farhadi¹, Maasoume Abdollahi¹✉

Abstract

Background and aims: One of the most common endocrine disorders affecting females during their reproductive years is polycystic ovary syndrome (PCOS), which is associated with symptoms such as dysmenorrhea, infertility, hirsutism, acne, and obesity. This study aimed to induce a polycystic ovary model in female adult rats through a single injection of estradiol valerate.

Methods: In this experimental study, 50 adult female rats were divided into four groups: PCO+1 (N=15), PCO+2 (N=15), control (N=10), and sham (N=10). The PCO+1 and PCO+2 groups received subcutaneous injections of estradiol valerate at doses of 1 mg and 2 mg, respectively, combined with 0.2 ml of olive oil. The sham group received a subcutaneous injection of 0.2 ml of olive oil, while the control group underwent no intervention. Body and ovarian weights were measured, and histological analyses were performed to count ovary follicles.

Results: A significant increase in weight was observed in the PCO+2 group compared to the other groups. The numbers of primary, secondary, and mature follicles, as well as corpora lutea, were lower in the PCO+2 group compared to the others. However, there was no significant difference in the number of atretic follicles. Notably, the PCO+2 group showed a significant increase in the number of cystic follicles compared to the other groups.

Conclusion: The results of this study indicate that a single injection of 2 mg of estradiol valerate effectively induces a polycystic ovary model, characterized by the presence of cystic follicles and a reduction in mature follicles.

Keywords: Polycystic Ovary Syndrome, Estradiol Valerate, Ovarian Follicle, Laboratory Rats

1. Department of Anatomical Sciences, Faculty of Medicine Aja University of Medical Sciences, Tehran, Iran

✉ Corresponding Author:

Maasoume Abdollahi

Address: Department of Anatomical Sciences, Faculty of Medicine Aja University of Medical Sciences, Tehran, Iran

Tel: +98 (21) 88337919

E-mail: abdolah_i_masume@yahoo.com

گزارش کوتاه

القاء مدل تخدمان پلی کیستیک به وسیله تزریق یک نوبت استرادیول والرات در موش صحرایی ماده بالغ در حیوانخانه دانشگاه علوم پزشکی آجا

بهشته ابوحمزه^۱، محمد فرهادی^۱، معصومه عبدالهی^{۱*}

چکیده

زمینه و اهداف: یکی از رایج‌ترین بیماری‌های دستگاه غدد درون‌ریز در زنان در سنین بارداری، سندروم تخدمان پلی کیستیک (PCOS) است که با نقص قادرگی، ناباروری، پرمومی، آکنه و چاقی همراه است. این مطالعه با هدف سهولت القاء مدل حیوانی تخدمان پلی کیستیک تزریق یک نوبت استرادیول والرات در موش صحرایی ماده بالغ انجام شد.

روش بررسی: در این مطالعه تجربی، ۵۰ سر موش صحرایی بالغ ماده نژاد ویستار به چهار گروه PCO+1 (تزریق زیرجلدی ۱ میلی‌گرم در هر رت استرادیول والریت ۰/۲ میلی‌لیتر روغن زیتون، تعداد: ۱۵)، PCO+2 (تزریق زیرجلدی ۲ میلی‌گرم در هر رت استرادیول والریت ۰/۰ میلی‌لیتر روغن زیتون، تعداد: ۱۵) و گروه کنترل (بدون تزریق، تعداد: ۱۰) و گروه شم (تزریق زیرجلدی ۰/۰ میلی‌لیتر روغن زیتون، تعداد: ۱۰) تقسیم شدند. اندازه‌گیری وزن بدن و همچنین تخدمان‌ها انجام شد. بررسی‌های بافت‌شناسی به منظور شمارش فولیکول‌های تخدمان انجام شد.

یافته‌ها: افزایش معنادار وزن گروه PCO+2 نسبت به سایر گروه‌ها وجود داشت. تعداد فولیکول‌های اولیه، ثانویه و بالغ و همچنین تعداد جسم‌های زرد در گروه‌های کنترل، شم و PCO+1 نسبت به گروه PCO+2 بیشتر بود. اما تعداد فولیکول‌های آترتیک تفاوت معناداری را نشان نداد. علاوه بر این، تعداد فولیکول‌های کیستیک افزایش معناداری را در گروه PCO+2 نسبت به سایر گروه‌ها نشان داد.

نتیجه‌گیری: مدل تخدمان پلی کیستیک با تزریق یک نوبت استرادیول والرات به میزان ۲ میلی‌گرم در موش صحرایی بالغ القاء می‌شود و با ایجاد فولیکول‌های کیستی و کاهش فولیکول‌های بالغ همراه است.

کلمات کلیدی: تخدمان پلی کیستیک، استرادیول والرات، فولیکول، موش صحرایی

(سال بیست و ششم، شماره سوم، پاییز ۱۴۰۳، مسلسل ۸۸)
تاریخ دریافت: ۱۹/۱/۱۴۰۳
تاریخ پذیرش: ۱۸/۶/۱۴۰۳

فصلنامه علمی پژوهشی ابن سینا / اداره بهداشت، امداد و درمان نهاد
تأثیرگذار: ۱۹/۱/۱۴۰۳

۱. دانشگاه علوم پزشکی آجا، دانشکده پزشکی، گروه علوم تشریح، تهران، ایران

نویسنده مسئول: معصومه عبدالهی
آدرس: دانشگاه علوم پزشکی آجا، دانشکده پزشکی، گروه علوم تشریح، تهران، ایران
تلفن: +۹۸ (۰۲۱) ۸۸۳۳۷۹۱۹
ایمیل: abdolahi_masume@yahoo.com

مقدمه

استراديول والرات به میزان ۴ میلی‌گرم صورت گرفته است [۱۲].

با توجه به مطالعات قبلی [۱۳-۱۵]، در این مطالعه به منظور سهولت ایجاد مدل تخدمان پلی‌کیستیک در موش‌های صحرایی بالغ ماده نژاد ویستار از تک دوز ۱ میلی‌گرم و ۲ میلی‌گرم داروی استراديول والرات استفاده شد و تظاهرات بافت‌شناسی تخدمان در این مدل پس از ۸ هفته مورد بررسی قرار گرفت.

روش بررسی

در این مطالعه تجربی، ۵۰ سر موش صحرایی بالغ ماده نژاد ویستار با وزن ۱۷۰-۲۱۰ گرم مورد استفاده قرار گرفتند. در ابتدا حیوانات برای تطابق با محیط جدید به مدت ۱۴ روز در شرایط ۱۲ ساعت تاریکی و ۱۲ ساعت روشنایی و دمای ۲۵ درجه سانتی‌گراد و دسترسی آزاد به آب و غذای استاندارد نگهداری شدند. حیوانات به ۴ گروه PCO+1 (۱۵ سر)، PCO+2 (۱۵ سر)، کنترل (۱۰ سر) و شم (۱۰ سر) تقسیم شدند. در گروه‌های PCO+1 و PCO+2 به ترتیب ۱ و ۲ میلی‌گرم استراديول والرات (شرکت داروسازی ابوریحان) در ۰/۲ میلی‌لیتر روغن زیتون به صورت زیرجلدی در هر رت تزریق شد. گروه کنترل بدون تزریق بودند و در گروه شم تزریق زیرجلدی ۰/۲ میلی‌لیتر روغن زیتون انجام گرفت [۱۶، ۱۷].

پس از گروه‌بندی، وزن حیوانات در ابتدا ثبت شد و ۸ هفته پس از شروع مطالعه وزن حیوانات و همچنین وزن تخدمان‌ها اندازه‌گیری شد. به منظور دسترسی به تخدمان‌های، موش‌ها با روش جابه‌جایی مهره‌های گردنی کشته شدند و با ایجاد شکاف طولی T در سطح شکم، تخدمان‌ها جدا و پس از برداشتن بافت همبند و چربی مورد وزن گیری قرار گرفتند.

به منظور بررسی بافت‌شناسی، تخدمان‌های فاقد بافت همبند و چربی در پارافرمالدھید ۱۰٪ فیکس شدند. مراحل آب‌گیری و شفافسازی به ترتیب به وسیله درجات مختلف الكل و گزیلول انجام گرفت و برای قالب‌گیری از پارافین

یکی از رایج‌ترین بیماری‌های دستگاه غدد درون‌ریز در زنان در سنین بارداری، سندروم تخمدان پلی‌کیستیک (PCOS)^۱ است که با نقص قاعدگی، ناباروری، پرمومی، آکنه و چاقی همراه است [۱، ۲]. وجود حداقل یک تخدمان با حجم بیش از ۱۰ میلی‌لیتر و یک تخدمان با حدود ۱۰ کیست کوچک با اندازه ۲ تا ۹ میلی‌متر به عنوان تظاهرات تخدمان پلی‌کیستیک در نظر گرفته می‌شوند [۳]. در سال ۲۰۱۶ مؤسسه ملی سلامت، میزان ابتلا به PCOS در زنان سنین باروری در سراسر جهان را حدود ۴-۱۰٪ پیش‌بینی کرد [۱]. همین‌طور سازمان جهانی بهداشت در سال ۲۰۲۲ میزان ابتلا به آن را در سراسر جهان را حدود ۴-۲۰٪ تخمین زد [۴، ۵].

علت دقیق این بیماری ناشناخته است، اما ترکیبی از عوامل ارثی و محیطی نقش مهمی را در ایجاد این بیماری به عهده دارند [۶]. از جمله دلایل ایجاد PCOS می‌توان به عدم تعادل هورمونی، التهاب خفیف مزمن، مقاومت به انسولین و افزایش هورمون‌های مردانه اشاره کرد [۷]. همچنین اخیراً ارتباطی بین PCOS و میکروب‌های روده معرفی شده است و اختلال در جمعیت میکروب‌های روده که ممکن است به دلیل عوامل خطر محیطی اتفاق بیافتد را به عنوان عامل مهم در ایجاد و پیشرفت این بیماری در نظر می‌گیرند [۸].

اهمیت مدل‌های حیوانی بیماری‌های انسان مورد تأکید پژوهش‌های زیادی قرار گرفته است [۹، ۱۰]. مدل‌های حیوانی به ما در درک بهتر ساز و کار بیماری‌ها و انتخاب روش درمانی بهتر کمک می‌کنند [۹]. به منظور ایجاد مدل تخدمان پلی‌کیستیک مطالعات از داروهای متفاوت از جمله دهیدروپی‌اندروسترون، دهیدروتستوسترون، لتروزول و استراديول والرات و همچنین دست‌کاری‌های ژنتیکی و محیطی (مثل مواجهه مداوم با نور یا استرس) بهره می‌برند [۱۱]. در پژوهش‌های گذشته ایجاد مدل تخدمان پلی‌کیستیک با تزریق

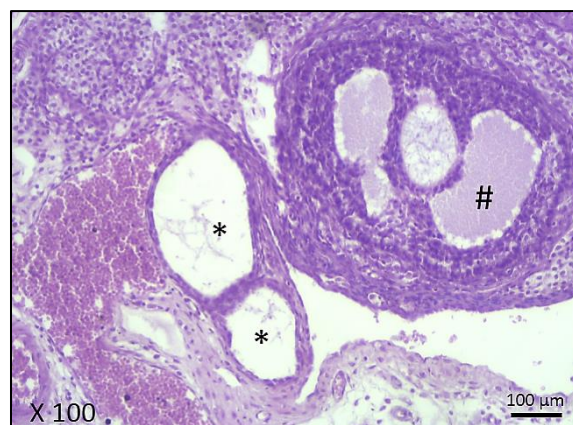
1. Polycystic ovary syndrome

مقایسه وزن ابتدایی و انتهایی موش‌ها از آزمون تی جفتی استفاده شد و مقایسه داده‌ها بین سه گروه توسط آزمون آنالیز واریانس یک‌طرفه و تحلیل تعقیبی توکی انجام شد و مقادیر $p < 0.05$ از نظر آماری معنادار در نظر گرفته شد. داده‌های به صورت میانگین \pm انحراف معیار گزارش شد.

یافته‌ها

مقایسه وزن ابتدا و انتهای حیوانات نشان داد که در هر چهار گروه مورد مطالعه وزن انتهایی نسبت به وزن ابتدایی افزایش معنی‌دار داشت ($p < 0.05$) به طوری که وزن انتهایی در $\text{PCO}+1$ گروه $295/66 \pm 8/9$ ، در $\text{PCO}+2$ گروه $226/5 \pm 7/63$ و در گروه شم $236/5 \pm 10/23$ و در گروه شم $235/8 \pm 10/05$ گرم بود. همچنین مقایسه وزن انتهایی بین چهار گروه مورد مطالعه، افزایش معنادار وزن را در گروه $\text{PCO}+2$ نسبت به سایر گروه‌ها نشان داد ($p < 0.05$) (نمودار ۱-الف). علاوه بر این، مقایسه اختلاف وزن ابتدایی و انتهایی در گروه‌های مورد مطالعه نشان‌دهنده میزان اختلاف وزن بالا و معنادار در گروه $\text{PCO}+2$ نسبت به سایر گروه‌ها بود به طوری که در این گروه اختلاف وزن $99/26 \pm 26$ گرم وجود داشت در حالی که در گروه‌های $\text{PCO}+1$ ، کنترل و شم به ترتیب اختلاف وزن $41/49 \pm 3/62$ ، $29/27 \pm 3/03$ و $42/63 \pm 4/03$ و گرم وجود داشت ($p < 0.05$). مقایسه وزن تخدمان‌ها در گروه‌های مطالعه، وزن بیشتر تخدمان را در گروه $\text{PCO}+2$ نشان داد، اگرچه وزن تخدمان بین گروه‌ها تفاوت معنادار نداشت (نمودار ۱-ج).

تعداد فولیکول‌های بدبو در گروه‌های مطالعه تفاوت معناداری را نشان نداد. اما فولیکول‌های اولیه و ثانویه در گروه‌های کنترل، شم و $\text{PCO}+1$ نسبت به گروه $\text{PCO}+2$ بیشتر بود ($p < 0.05$). همچنین تعداد فولیکول‌های بالغ در گروه کنترل ($7/2 \pm 0/6$)، گروه شم ($7/0 \pm 0/58$) و $\text{PCO}+1$ ($7/4 \pm 0/7$) نسبت به گروه $\text{PCO}+2$ ($5 \pm 0/5$) افزایش معنادار نشان داد ($p < 0.05$). تعداد جسم زرد نیز در گروه‌های کنترل،



شکل ۱- مقطع تخدمان رنگ‌آمیزی شده با هماتوکسیلین و اوزین (بزرگنمایی $\times 100$)

* نشان‌دهنده کیست؛ # نشان‌دهنده فولیکول بالغ

استفاده شد. سپس برش‌های بافتی به صورت سریالی و با ضخامت ۵ میکرومتر تهیه شد و مورد رنگ‌آمیزی با هماتوکسیلین و اوزین قرار گرفت. پس از رنگ‌آمیزی شمارش فولیکول‌ها شامل فولیکول‌های بدبو (دارای یک لایه سلول سنگفرشی گرانولوزا در اطراف تخمک)، فولیکول اولیه (دارای یک لایه سلول مکعبی گرانولوزا در اطراف تخمک)، فولیکول ثانویه (دارای بیش از یک لایه سلول مکعبی گرانولوزا در اطراف تخمک)، فولیکول بالغ یا آنترال (وجود حباب‌ها پر از مایع بین سلول‌های گرانولوزا)، فولیکول کیستیک (کیست‌های بزرگ با لایه نازکی از سلول‌های گرانولوزا) و آترتیک (فولیکول‌های چروکیده‌ایی که به بلوغ نرسیده‌اند) و همچنین شمارش جسم زرد، به وسیله میکروسکوپ نوری با بزرگنمایی $\times 100$ انجام شد (شکل ۱).

ملاحظات اخلاقی

در این مطالعه اخلاق پژوهش مبنی بر کار با حیوانات آزمایشگاهی رعایت شد. شرایط مناسب از جمله آب و غذای کافی زیست برای آنها فراهم شد.

تجزیه و تحلیل آماری

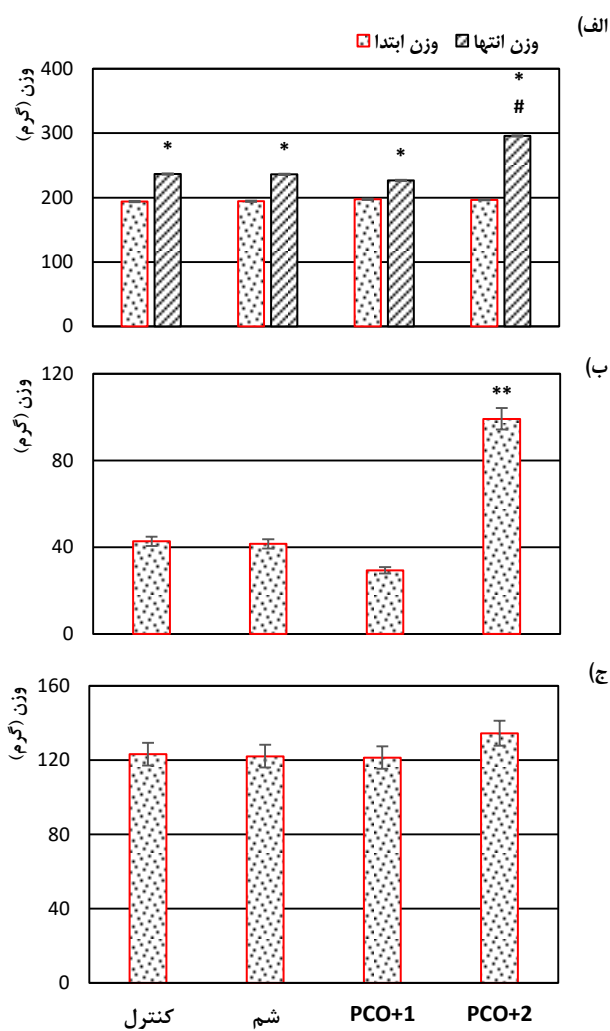
جهت تحلیل آماری از نرم‌افزار SPSS (نسخه ۱۶) استفاده شد. قبل از مقایسه داده‌ها در گروه‌ها، توزیع نرمال داده‌ها با استفاده از آزمون کولموگروف-اسمیرنوف انجام گرفت و $p < 0.05$ به عنوان توزیع نرمال در نظر گرفته شد. به منظور

بحث و نتیجه‌گیری

در این مطالعه به دنبال ایجاد مدل تخمدان پلی‌کیستیک از داروی استرادیول والرات استفاده شد. نتایج نشان داد که در گروه تزریق ۲ میلی‌گرم استرادیول والرات وزن حیوانات نسبت به گروه‌های دیگر مطالعه، وزن افزایش قابل توجهی را نشان داد. علاوه بر این تعداد فولیکول‌های اولیه و ثانویه در این گروه کمتر بود و تعداد فولیکول‌های بالغ هم به طور معناداری نسبت به گروه‌های دیگر کمتر بود. همچنین تعداد فولیکول‌های کیستیک قابل توجه در این گروه نشان‌دهنده ایجاد مدل تخمدان پلی‌کیستیک بود.

استرادیول والریت به عنوان یک داروی ضدبارداری به وسیله اختلال در محور هایپوتالاموس-هیپوفیز-تخمدان، تخمکزایی را مهار می‌کند [۱۸]. مطالعات نشان می‌دهد که این دارو باعث بلوغ زودهنگام، مهار FSH در گردش، افزایش استرادیول، اختلال در چرخه تخمدانی، عدم حضور جسم زرد و ایجاد کیست‌های تخمدانی می‌شود [۱۹، ۲۰]. همچنین مطالعات نشان می‌دهد که مکانیسم اثر این دارو از طریق فعال کردن عصب سمتیک تخمدان است و مطالعاتی که همراه با مداخله از بین بردن عصب سمتیک تخمدان هستند، برگشت عملکرد طبیعی تخمدان را گزارش داده‌اند [۲۰]. در مطالعه ما نیز بعد از تزریق استرادیول والریت، ایجاد کیست‌های فولیکولی و کاهش فولیکول‌های بالغ و جسم زرد دیده شد.

مطالعات زیادی برای مدل‌سازی PCOS از داروها و شرایط متفاوتی استفاده کرده‌اند، از جمله مطالعه کلمبری و همکاران [۲۱] که به القای مدل تخمدان پلی‌کیستیک در موش توسط تستوسترون انانتات پرداختند و افزایش معنادار تعداد فولیکول‌های پره‌آنتراول و کیستیک را نسبت به گروه کنترل گزارش کردند. در مطالعه احمدی و همکاران [۲۲] هم به دنبال تزریق دی‌هیدروپاپی‌آنдрولستنديون کاهش معنی‌دار تعداد فولیکول‌های آنتراول و جسم زرد و افزایش تعداد فولیکول‌های اولیه و پره‌آنتراول و کیستی در مقایسه با گروه کنترل دیده شد. در مطالعه مصباح و همکاران [۱۶] با تزریق یک



نمودار ۱- مقایسه وزن ابتدایی و انتهایی (الف)، اختلاف وزن ابتدایی و انتهایی (ب)، و

وزن تخمدان‌ها (ج) در گروه‌های مطالعه

* افزایش معنادار وزن انتهایی نسبت به وزن ابتدایی ($p < 0.05$)

** افزایش معنادار وزن گیری در گروه PCO+2 نسبت به سایر گروه‌ها ($p < 0.05$)

افزایش معنادار وزن انتهایی در گروه PCO+2 نسبت به سایر گروه‌ها ($p < 0.05$)

شم و PCO+1 نسبت به گروه PCO+2 بیشتر بود، اما تعداد فولیکول‌های آتریتیک تفاوت معناداری را نشان نداد. تعداد فولیکول‌های کیستیک افزایش معناداری را در گروه PCO+2 (9 ± 0.6) نسبت به گروه PCO+1 (0)، کنترل (0) و شم (0) نشان داد ($p < 0.05$). (جدول ۱)

جدول ۱- تعداد انواع فولیکول‌های تخمدانی در گروه‌های مختلف مورد آزمایش

| گروه‌ها | بدوی | اولیه | ثانویه | بالغ | کورپوس لوتووم | آتریتیک کیست |
|---------|---------------|---------------|-----------------|-----------------|-----------------|-----------------|
| کنترل | - | 5.7 ± 0.7 | 3.2 ± 0.3 | 2.8 ± 0.6 | 2.1 ± 2 | 5.5 ± 3.7 |
| شم | - | 5.6 ± 0.6 | 3.7 ± 0.5 | 2.7 ± 0.5 | 2.0 ± 1.9 | 5.4 ± 3.5 |
| PCO+1 | - | 4.9 ± 0.9 | $4.0 \pm 0.6^*$ | $7.4 \pm 0.7^*$ | $2.5 \pm 2.4^*$ | $3.3 \pm 2.4^*$ |
| PCO+2 | $9 \pm 0.6^*$ | 7 ± 0.8 | 2.5 ± 0.3 | 5.0 ± 0.5 | 1.7 ± 1.5 | 2.4 ± 2.3 |

* افزایش معنادار نسبت به گروه PCO+2

افزایش معنادار نسبت به دو گروه کنترل، شم و PCO+1

داده‌ها به صورت میانگین ± انحراف معیار گزارش شده‌اند.

می‌تواند در نتایج تحقیق خطا ایجاد کند. نتایج این مطالعه نشان داد که مدل تخدمان پلی کیستیک با تزریق یک نوبت استردادیول والرات به صورت آزمایشی در موش صحرایی برانگیخته می‌شود و با ایجاد فولیکول‌های کیستی و کاهش فولیکول‌های بالغ همراه است. برای معرفی یک مدل حیوانی کامل و مشترک برای ایجاد مدل تخدمان پلی کیستیک پیشنهاد می‌گردد در یک بررسی کلی و تحت شرایط یکسان داروها و عوامل مؤثر در ایجاد این سندروم به طور همزمان مقایسه گردد به خصوص ارزیابی هورمونی خون و بررسی مورفومتریک تخدمان مورد توجه قرار گیرد.

تشکر و قدردانی

این اثر بخشی از پایان‌نامه نویسنده دوم است. این پژوهش با شناسه IR.AJAUMS.REC.1399.015 در سامانه اخلاق در پژوهش در دانشگاه علوم پزشکی آجا ثبت شده است.

تعارض منافع

نویسنده‌گان اعلام می‌کنند که در این پژوهش هیچ‌گونه تعارض منافعی وجود ندارد.

سهم نویسنده‌گان

همه نویسنده‌گان در ایده‌پردازی و انجام طرح، همچنین نگارش اولیه مقاله یا بازنگری آن سهمیم بوده‌اند و همه با تأیید نهایی مقاله حاضر مسئولیت دقت و صحت مطالب مندرج در آن را می‌پذیرند.

منابع مالی

در این پژوهش از هیچ ارگانی کمک مالی دریافت نگردید.

References

- El Hayek S, Bitar L, Hamdar LH, Mirza FG, Daoud G. Poly cystic ovarian syndrome: An updated overview. *Frontiers in Physiology*. 2016;7:124. doi:10.3389/fphys.2016.00124
- Motlagh Asghari K, Nejadghaderi SA, Alizadeh M, Sanaie S, Sullman MJM, Kolahi AA, et al. Burden of polycystic ovary syndrome in the Middle East and North Africa region, 1990-2019. *Scientific Reports*. 2022;12(1):7039. doi:10.1038/s41598-022-11006-0

نوبت استردادیول والرات به میزان ۴۰ میلی‌گرم القا شد و پس از ۱۲ هفته تخدمان حیوانات از بدن خارج و شواهد ایجاد تخدمان پلی کیستیک در بافت تخدمان مشاهده شد. مطالعه طهماسبی و همکاران [۱۵] همچنین ایجاد مدل تخدمان پلی کیستیک را در پی تزریق ۴۰ میلی‌گرم بر کیلوگرم استردادیول والرات بعد از ۸ هفته نشان دادند. علاوه بر این در این مطالعه نشان داده شد که میزان رادیکال‌های آزاد اکسیژن نسبت به گروه کنترل افزایش معناداری را نشان می‌دهد. در مطالعه فرهادی‌آذر و همکاران [۲۳] تزریق استردادیول والرات به میزان ۴ میلی‌گرم در هر کیلوگرم به صورت روزانه تا ۲۸ روز جهت القا PCOS انجام شد و شواهد نشان داد که در گروه مدل PCOS وزن بدن افزایش قابل توجهی نسبت به گروه کنترل داشت. همچنین در نمونه‌های بافت‌شناسی شواهد ایجاد کیست تخدمانی در گروه مدل تخدمان پلی کیستیک گزارش شد. در مطالعات قبلی [۱۲] ایجاد مدل تخدمان پلی کیستیک با تزریق استردادیول والرات به میزان ۴ میلی‌گرم نشان داد که افزایش وزن بدن و وزن تخدمان در این گروه مشاهده شد. در پژوهش حاضر تزریق دوز ۲ میلی‌گرمی استردادیول والرات باعث ایجاد شواهد تخدمان پلی کیستیک در موش صحرایی شد.

ایجاد سندروم تخدمان پلی کیستی به وسیله استروژن‌ها مانند استردادیول والرات (مثل آنچه که در این پژوهش مشاهده شد) نسبت به سایر روش‌ها برتری‌هایی دارد [۲۵، ۲۶] که از آن جمله می‌توان به در دسترس و ارزان بودن دارو، برانگیختگی دائمی این سندروم و کافی بودن تنها یک دوز ۲ میلی‌گرمی تجویز آن اشاره کرد. در حالی که استفاده از داروهای دیگر مثل دی‌هیدروپاپی‌آنдрول استندیون [۲۷] و تستوسترون اناتات [۲۸] نیاز به تیمار با مدت زمان بیشتر و مداخلات بیشتری دارد که

3. Balen AH, Tan SL, MacDougall J, Jacobs HS. Miscarriage rates following in-vitro fertilization are increased in women with polycystic ovaries and reduced by pituitary desensitization with buserelin. *Human Reproduction*. 1993;8(6):959-964. doi:[10.1093/oxfordjournals.humrep.a138174](https://doi.org/10.1093/oxfordjournals.humrep.a138174)
4. Vidya Bharathi R, Swetha S, Neerajaa J, Varsha Madhavica J, Janani DM, Rekha SN, et al. An epidemiological survey: Effect of predisposing factors for PCOS in Indian urban and rural population. *Middle East Fertility Society Journal*. 2017;22(4):313-316. doi:[10.1016/j.mefs.2017.05.007](https://doi.org/10.1016/j.mefs.2017.05.007)
5. Jabeen A, Yamini V, Rahman Amberina A, Dinesh Eshwar M, Vadakedath S, Begum GS, Kandi V. Polycystic ovarian syndrome: Prevalence, predisposing factors, and awareness among adolescent and young girls of South India. *Cureus*. 2022;14(8):e27943. doi:[10.7759/cureus.27943](https://doi.org/10.7759/cureus.27943)
6. Singh S, Pal N, Shubham S, Sarma DK, Verma V, Marotta F, Kumar M. Polycystic ovary syndrome: Etiology, current management, and future therapeutics. *Journal of Clinical Medicine*. 2023;12(4):1454. doi:[10.3390/jcm12041454](https://doi.org/10.3390/jcm12041454)
7. Lujan ME, Chizen DR, Pierson RA. Diagnostic criteria for polycystic ovary syndrome: pitfalls and controversies. *Journal of Obstetrics and Gynaecology Canada*. 2008;30(8):671-679. doi:[10.1016/s1701-2163\(16\)32915-2](https://doi.org/10.1016/s1701-2163(16)32915-2)
8. Batra M, Bhatnager R, Kumar A, Suneja P, Dang AS. Interplay between PCOS and microbiome: The road less travelled. *American Journal of Reproductive Immunology*. 2022;88(2):e13580. doi:[10.1111/aji.13580](https://doi.org/10.1111/aji.13580)
9. Lange S, Inal JM. Animal models of human disease. *International Journal of Molecular Sciences*. 2023;24(21):15821. doi:[10.3390/ijms242115821](https://doi.org/10.3390/ijms242115821)
10. Reza Khorramizadeh M, Saadat F. Chapter 8 - Animal models for human disease. In: Verma AS, Singh A, eds. *Animal Biotechnology* (Second Edition). Boston: Academic Press; 2020:153-171. doi:[10.1016/B978-0-12-811710-1.00008-2](https://doi.org/10.1016/B978-0-12-811710-1.00008-2)
11. Venegas B, De León Gordillo LY, Rosas G, Espinoza JA, Morán C, Domínguez R, Morales-Ledesma L. In rats with estradiol valerate-induced polycystic ovary syndrome, the acute blockade of ovarian β -adrenoreceptors improve ovulation. *Reproductive Biology and Endocrinology*. 2019;17(1):95. doi:[10.1186/s12958-019-0539-y](https://doi.org/10.1186/s12958-019-0539-y)
12. Rakic D, Joksimovic Jovic J, Jakovljevic V, Zivkovic V, Nikolic M, Sretenovic J, et al. High fat diet exaggerate metabolic and reproductive PCOS features by promoting oxidative stress: An improved EV model in rats. *Medicina* 2023;59(6):1104. doi:[10.3390/medicina59061104](https://doi.org/10.3390/medicina59061104)
13. Picut CA, Dixon D, Simons ML, Stump DG, Parker GA, Remick AK. Postnatal ovary development in the rat: Morphologic study and correlation of morphology to neuroendocrine parameters. *Toxicologic Pathology*. 2015;43(3):343-353. doi:[10.1177/0192623314544380](https://doi.org/10.1177/0192623314544380)
14. Stener-Victorin E, Ploj K, Larsson BM, Holmång A. Rats with steroid-induced polycystic ovaries develop hypertension and increased sympathetic nervous system activity. *Reproductive Biology and Endocrinology*. 2005;3:44. doi:[10.1186/1477-7827-3-44](https://doi.org/10.1186/1477-7827-3-44)
15. Tahmasebi F, Movahedin M, Mazaheri Z. Poly cystic ovary model as an elevated oxidative stress factor. *Journal of Mazandaran University of Medical Sciences*. 2015;25(127):82-91. [Persian]
16. Mesbah F, Moslem M, Vojdani Z, Mirkhani H. Estradiol valerate-induced polycystic ovary syndrome: An animal model study. *Armaghane Danesh*. 2011;15(4):325-334. [Persian]
17. Stener-Victorin E, Lundeberg T, Cajander S, Aloe L, Manni L, Waldenström U, Janson PO. Steroid-induced polycystic ovaries in rats: effect of electro-acupuncture on concentrations of endothelin-1 and nerve growth factor (NGF), and expression of NGF mRNA in the ovaries, the adrenal glands, and the central nervous system. *Reproductive Biology and Endocrinology*. 2003;1:33. doi:[10.1186/1477-7827-1-33](https://doi.org/10.1186/1477-7827-1-33)
18. Haverinen A, Luiro K, Kangasniemi MH, Piltonen TT, Hustad S, Heikinheimo O, Tapanainen JS. Estradiol valerate vs ethinylestradiol in combined oral contraceptives: Effects on the pituitary-ovarian axis. *The Journal of Clinical Endocrinology and Metabolism*. 2022;107(7):e3008-e3017. doi:[10.1210/clinem/dgac150](https://doi.org/10.1210/clinem/dgac150)
19. Brawer JR, Munoz M, Farookhi R. Development of the polycystic ovarian condition (PCO) in the estradiol valerate-treated rat. *Biology of Reproduction*. 1986;35(3):647-655. doi:[10.1095/biolreprod35.3.647](https://doi.org/10.1095/biolreprod35.3.647)
20. Rosa ESA, Guimaraes MA, Padmanabhan V, Lara HE. Prepubertal administration of estradiol valerate disrupts cyclicity and leads to cystic ovarian morphology during adult life in the rat: Role of sympathetic innervation. *Endocrinology*. 2003;144(10):4289-4297. doi:[10.1210/en.2003-0146](https://doi.org/10.1210/en.2003-0146)
21. Kalhori Z, Azadbakht M, Bazdar A, Zeinali H. Polycystic ovary induction in mouse by testosterone enanthate. *Journal of Advanced Biomedical Sciences*. 2013;3(4):387-391. [Persian]
22. Ahmadi M, Rezaei MJ, Fathi F. Polycystic ovary induction by Dehydroepiandrosterone in Mice. *Journal of Ilam University of Medical Sciences*. 2017;25(3):100-107. doi:[10.29252/sjimu.25.3.100](https://doi.org/10.29252/sjimu.25.3.100) [Persian]
23. Farhadi-Azar M, Ghahremani M, Mahboobifard F, Noroozzadeh M, Yaghmaei P, Tehrani FR. Effects of Rosa damascena on reproductive improvement, metabolic parameters, liver function and insulin-like growth factor-1 gene expression in estradiol valerate induced polycystic ovarian syndrome in Wistar rats. *Biomedical Journal*. 2023;46(3):100538. doi:[10.1016/j.bj.2022.05.003](https://doi.org/10.1016/j.bj.2022.05.003)
24. Hadijafari M, Khani S, Abouhamzeh B, Abdollahi M, Mirghazanfari SM. Yarrow (*Achillea millefolium* L.) extract produces beneficial effects on reproductive parameters in estradiol valerate-induced polycystic ovarian syndrome in rats. *Future Natural Products*. 2020;6(1):1-13.
25. Khani S, Abdollahi M, Khalaj A, Heidari H, Zohali S. The effect of hydroalcoholic extract of *Nigella Sativa* seed on dehydroepiandrosterone-induced polycystic ovarian syndrome in rats: An experimental study. *International Journal of Reproductive Biomedicine*. 2021;19(3):271-282. doi:[10.18502/ijrm.v19i3.8575](https://doi.org/10.18502/ijrm.v19i3.8575)